

**МЕХАНИЧЕСКАЯ МОДЕЛЬ КИПЫ ХЛОПКА  
И МАТЕМАТИЧЕСКАЯ МОДЕЛЬ ДЕФОРМАЦИОННОГО ДВИЖЕНИЯ КИПЫ\***

**THE MECHANICAL MODEL OF A COTTON BALE  
AND THE MATHEMATICAL MODEL  
OF THE BALE DEFORMATIONAL MOVEMENT**

B.B. VOLKOV  
V.V. VOLKOV

(Пензенский государственный технологический университет)  
(Penza State Technological University)

E-mail: rector@penzgtu.ru

*Предлагается механическая модель кипы хлопка и ее математическая модель деформационного движения. Приведено общее и частное решение уравнений движения кипы. Обосновано применение приближенного решения уравнения движения кипы.*

*The mechanical model of a cotton bale and its mathematical model of deformational movement are presented in this article. The author gives the general and the particular solutions of the bale movement equations.*

**Ключевые слова:** хлопок, кипа, механическая модель, математическая модель, деформация, уравнения движения кипы.

**Keywords:** cotton, a bale, a mathematical model, a mechanical model, deformation, equations of the bale movement.

Кипу хлопка можно представить в виде механической модели с распределенными инерционными ( $m_0$ ), упругими ( $c_0$ ) и диссипативными ( $b_0$ ) параметрами[2]. В этой модели (рис. 1) независимой переменной является лагранжева координата  $z$ , с помощью которой определяются положения сечений кипы по высоте в недеформированном состоянии, зависимой переменной является деформационное перемещение  $u(t, z)$ . Площадь поперечного сечения кипы  $A = 0,97 \cdot 0,6 = 0,582 \text{ м}^2$  считается неизменной в процессе деформаций, высота кипы в ненапряженном состоянии  $\ell = 1,3 \text{ м}$ , масса кипы  $m = 205 \text{ кг}$ , усилие прессования  $Q = 42,4 \cdot 10^4 \text{ Н}$ . Полная деформация спрессованной кипы  $\delta = 0,53 \text{ м}$ . Жесткость кипы  $c = \frac{Q}{\delta} = 80 \cdot 10^4 \text{ Н/м}$ . Погонные масса и

жесткость кипы  $m_0 = \frac{m}{\ell} = 157,7 \text{ кг/м}$ ,

$c_0 = c \frac{\ell}{l(\text{м})} = 104 \cdot 10^4 \text{ Н}$ .

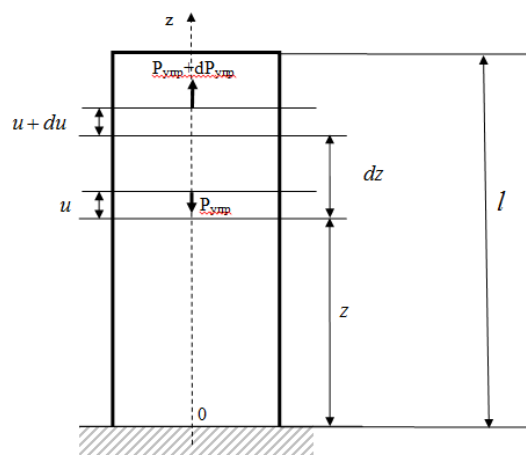


Рис. 1

\* Работа выполнена под руководством проф., докт. техн. наук В.К. Полякова (СПГУТД).

Выделим сечениями  $z$  и  $z+dz$  произвольный недеформированный элемент кипы  $dz$ .

В результате деформации сечение  $z$  займет положение  $z+u(t,z)$ , а сечение  $z+dz$  – положение  $z+dz+u(t,z)+\frac{\partial u(t,z)}{\partial z}dz$ .

Длина элемента  $dz$  в деформированном состоянии будет равна  $dz+\frac{\partial u(t,z)}{\partial z}dz$ , а деформация этого элемента будет равна  $\frac{\partial u(t,z)}{\partial z}dz$ .

Относительная деформация (отношение величины деформации к первоначальной длине выделенного элемента) будет:

$$\varepsilon = \frac{\partial u(t,z)}{\partial z}. \quad (1)$$

Воспользуемся известным равенством:

$$\varepsilon = \frac{\sigma(t,z)}{E} = \frac{P_{\text{упр}}}{AE}. \quad (2)$$

Здесь  $\sigma(t,z)$  – напряжение;  $E$  – модуль упругости;  $P_{\text{упр}}$  – упругое усилие;  $A$  – площадь сечения кипы.

Так как

$$c = \frac{AE}{\ell}, \quad c_0 = AE, \quad c = \frac{c_0}{\ell},$$

то, учитывая равенства (1) и (2), найдем:

$$P_{\text{упр}}(t,z) = c_0 \varepsilon = c_0 \frac{\partial u(t,z)}{\partial z}. \quad (3)$$

Равенство (3) задает характер распределения упругих усилий по длине кипы в различные моменты времени.

В предыдущих равенствах:  $c$  – коэффициент жесткости кипы;  $\ell$  – высота кипы;  $c_0$  – погонная жесткость (жесткость 1 м длины) кипы.

Применив к выделенному элементу второй закон Ньютона, получим:

$$m_0 dz \frac{\partial^2 u(t,z)}{\partial t^2} = -m_0 dz g + dP_{\text{упр}}, \quad (4)$$

$$dP_{\text{упр}} = c_0 \frac{\partial^2 u(t,z)}{\partial z^2} dz. \quad (5)$$

Подставив равенство (5) в уравнение движения (4), получим:

$$m_0 \frac{\partial^2 u(t,z)}{\partial t^2} - c_0 \frac{\partial^2 u(t,z)}{\partial z^2} = -m_0 g, \quad (6)$$

в этом уравнении учтена сила тяжести материала кипы.

В уравнении (6) дополнительно учтем демпфирующие свойства материала кипы, считая силы демпфирования пропорциональными скорости деформации:

$$P_{\text{демп}} = b_0 \frac{\partial^2 u(t,z)}{\partial t \partial z}, \quad (7)$$

$$dP_{\text{демп}} = b_0 \frac{\partial^3 u(t,z)}{\partial t \partial z^2} dz.$$

После учета равенств (7) получим уравнение движения в окончательном виде:

$$m_0 \frac{\partial^2 u(t,z)}{\partial t^2} - b_0 \frac{\partial^3 u(t,z)}{\partial t \partial z^2} - c_0 \frac{\partial^2 u(t,z)}{\partial z^2} = -m_0 g. \quad (8)$$

При решении уравнений движения кипы руководствуемся следующими рассуждениями. Уравнение (8) является линейным неоднородным уравнением в частных производных. Его решение состоит из суммы решений однородного и неоднородного уравнений. Найдем сначала решение однородного уравнения (10):

$$m_0 \frac{\partial^2 u(t,z)}{\partial t^2} - b_0 \frac{\partial^3 u(t,z)}{\partial t \partial z^2} - c_0 \frac{\partial^2 u(t,z)}{\partial z^2} = 0. \quad (9)$$

Одним из методов поиска решения является метод Фурье, заключающийся в представлении решения в виде произведения двух функций, одна из которых зависит только от времени  $t$ , другая – от координаты  $z$ :

$$u(t, z) = T(t)Z(z). \quad (10)$$

Подставив это решение в уравнение (9), получим

$$\begin{aligned} m_0 \ddot{T}(t)Z(z) - b_0 \dot{T}(t)Z''(z) - c_0 T(t)Z''(z) &= 0, \\ m_0 \ddot{T}(t)Z(z) - Z''(z)[b_0 \dot{T}(t) + c_0 T(t)] &= 0. \end{aligned} \quad (11)$$

Разделим почленно это равенство на  $Z(z)[b_0 \dot{T}(t) + c_0 T(t)]$ :

$$m_0 \frac{\ddot{T}(t)}{[b_0 \dot{T}(t) + c_0 T(t)]} = \frac{Z''(z)}{Z(z)} = -p^2. \quad (12)$$

Равенство (12) записано на основании того, что две функции различных аргументов могут быть тождественно равны только в том случае, если обе они равны одной и той же постоянной величине.

Равенству (12) соответствуют два обыкновенных дифференциальных уравнения:

$$Z''(z) + p^2 Z(z) = 0. \quad (13)$$

$$m_0 \ddot{T}(t) + b_0 p^2 \dot{T}(t) + c_0 p^2 T(t) = 0. \quad (14)$$

Решение уравнения (13) имеет вид:

$$Z(z) = C_1 \cos pz + C_2 \sin pz. \quad (15)$$

Это решение для модели, изображенной на рис. 1, с учетом конкретных граничных условий рассматриваемой задачи преобразуется к виду:

$$Z(0) = 0, \quad C_1 = 0,$$

$$Z(z) = C_2 \sin pz,$$

$$Z'(\ell) = 0, \quad Z'(z) = C_2 p \cos pz,$$

$$\cos p\ell = 0,$$

$$p_1 = \frac{\pi}{2\ell}, \quad p_2 = \frac{3\pi}{2\ell}, \quad p_3 = \frac{5\pi}{2\ell}, \dots, \quad p_n = \frac{(2n-1)\pi}{2\ell}.$$

Таким образом, получим бесчисленное множество решений, зависящих от значений  $p_n$ .

Уравнение (14) предварительно преобразуем к виду:

$$\ddot{T}(t) + 2r_n \dot{T}(t) + k_{0n}^2 T(t) = 0, \quad (16)$$

$$\text{где } r_n = \frac{b_0 p_n^2}{2m_0}, \quad k_{0n} = p_n \sqrt{\frac{c_0}{m_0}}.$$

Решение уравнения (16) получим в виде:

$$T(t) = e^{-r_n t} (D_1 \cos k_n t + D_2 \sin k_n t), \quad (17)$$

$$\text{где } k_n = \sqrt{k_{0n}^2 - r_n^2} = p_n \sqrt{\frac{c_0}{m_0} - \frac{b_0^2 p_n^2}{4m_0^2}}.$$

В конечном счете для рассматриваемой модели решение однородного уравнения (9) получится в виде бесконечного ряда:

$$u(t, z) = \sum_{n=1}^{\infty} \sin p_n z e^{-r_n t} (D_{1n} \cos k_n t + D_{2n} \sin k_n t). \quad (18)$$

К этому общему решению необходимо добавить частное решение неоднородного уравнения (8).

Определяем деформацию кипы под действием сил тяжести. Для этого из неоднородного уравнения (8) в статических условиях найдем:

$$c_0 \frac{\partial^2 u(z)}{\partial z^2} = m_0 g, \quad (19)$$

$$\frac{\partial u(z)}{\partial z} = \frac{m_0}{c_0} gz - \frac{m_0}{c_0} gl, \quad (20)$$

$$u(z) = \frac{1}{2} \frac{m_0}{c_0} gz^2 - \frac{m_0}{c_0} glz. \quad (21)$$

Добавив это решение к решению (18), получим общее решение неоднородного уравнения (8):

$$u(t, z) = \sum_{n=1}^{\infty} \sin p_n z e^{-r_n t} (D_{1n} \cos k_n t + D_{2n} \sin k_n t) + \frac{1}{2} \frac{m_0}{c_0} gz^2 - \frac{m_0}{c_0} glz. \quad (22)$$

Деформацию кипы под действием усилия прессования определяем следующим образом. Из уравнения (9) в статических условиях найдем:

$$\frac{\partial u(z)}{\partial z} = -\frac{Q}{c_0}, \quad (24)$$

$$u(z) = -\frac{Q}{c_0}z. \quad (25)$$

$$\frac{\partial^2 u(z)}{\partial z^2} = 0, \quad (23)$$

Таким образом, начальные условия рассматриваемой задачи запишутся в следующем виде:

$$u(0, z) = -\frac{Q}{c_0}z + \frac{1}{2} \frac{m_0}{c_0} g z^2 - \frac{m_0}{c_0} g \ell z = \frac{1}{2} \frac{m_0}{c_0} g z^2 - \left( \frac{Q}{c_0} + \frac{m_0}{c_0} g \ell \right) z, \quad \dot{u}(0, z) = 0. \quad (26)$$

Находим частное решение уравнения движения кипы с учетом начальных условий (26). Для этого в уравнении (22) вос-

пользуемся условием ортогональности форм собственных колебаний:

$$\int_0^\ell u(t, z) \sin p_n z dz = \frac{\ell}{2} e^{-r_n t} (D_{1n} \cos k_n t + D_{2n} \sin k_n t) + \int_0^\ell \left( \frac{1}{2} \frac{m_0}{c_0} g z^2 - \frac{m_0}{c_0} g \ell z \right) \sin p_n z dz. \quad (27)$$

При  $t = 0$  получим:

$$\int_0^\ell \left( \frac{1}{2} \frac{m_0}{c_0} g z^2 - \frac{m_0}{c_0} g \ell z \right) \sin p_n z dz - \int_0^\ell \frac{Q}{c_0} z \sin p_n z dz = \frac{\ell}{2} D_{1n} + \int_0^\ell \left( \frac{1}{2} \frac{m_0}{c_0} g z^2 - \frac{m_0}{c_0} g \ell z \right) \sin p_n z dz, \quad (28)$$

$$D_{1n} = -\frac{2}{\ell} \int_0^\ell \frac{Q}{c_0} z \sin p_n z dz = -\frac{2Q}{\ell c_0 p_n^2} (\sin p_n \ell - p_n \ell \cos p_n \ell). \quad (29)$$

Найдем закон изменения скоростей:

$$\dot{u}(t, z) = \sum_{n=1}^{\infty} \sin p_n z [-r_n e^{-r_n t} (D_{1n} \cos k_n t + D_{2n} \sin k_n t) + k_n e^{-r_n t} (-D_{1n} \sin k_n t + D_{2n} \cos k_n t)].$$

Для начальных скоростей имеем:

$$\int_0^\ell \frac{\partial u(t, z)}{\partial t} \sin p_n z dz = -\frac{\ell}{2} r_n e^{-r_n t} (D_{1n} \cos k_n t + D_{2n} \sin k_n t) + \frac{\ell}{2} e^{-r_n t} k_n (-D_{1n} \sin k_n t + D_{2n} \cos k_n t),$$

и при  $t = 0$  получим:

$$0 = -\frac{\ell}{2} r_n D_{1n} + \frac{\ell}{2} k_n D_{2n}, \quad (30)$$

$$D_{2n} = \frac{r_n}{k_n} D_{1n} = -\frac{r_n}{k_n} \frac{2Q}{\ell c_0 p_n^2} (\sin p_n \ell - p_n \ell \cos p_n \ell).$$

С учетом найденных значений  $D_{1,n}$ ,  $D_{2,n}$

окончательно получим:

$$u(t, z) = \sum_{n=1}^{\infty} \sin p_n z e^{-r_n t} (D_{1n} \cos k_n t + D_{2n} \sin k_n t) + \frac{1}{2} \frac{m_0}{c_0} g z^2 - \frac{m_0}{c_0} g \ell z. \quad (31)$$

Часто приходится выполнять нахождение приближенного решения уравнения движения кипы. Равенство (31) дает точное решение уравнения движения кипы, однако из практических соображений известно, что в реальных условиях движение

кипы затухает примерно через четверть периода колебаний на основной частоте, что позволяет ограничиться одним членом разложения (31), а вместо теоретической формы колебаний использовать уравнение начальной деформации:

$$u(0, z) = \frac{1}{2} \frac{m_0}{c_0} g z^2 - \frac{1}{c_0} z(Q + m_0 g \ell),$$

$$u(t, z) = \left[ \frac{1}{2} \frac{m_0}{c_0} g z^2 - \frac{1}{c_0} z(Q + m_0 g \ell) \right] e^{-r t} (D_1 \cos kt + D_2 \sin kt),$$

$$D_1 = 1,$$

$$\frac{\partial u(t, z)}{\partial t} = \left[ \frac{1}{2} \frac{m_0}{c_0} g z^2 - \frac{1}{c_0} z(Q + m_0 g \ell) \right] - r e^{-r t} (D_1 \cos kt + D_2 \sin kt) + e^{-r t} k (D_1 \sin kt + D_2 \cos kt),$$

$$[-r + k D_2] = 0, \quad D_2 = \frac{r}{k},$$

где  $r = \frac{b_0 p^2}{2m_0}$ ,  $k = p \sqrt{\frac{c_0}{m_0}}$ ,  $r = r_1$ ,  $p = p_1$ ,

$$k = \sqrt{k_0^2 - r^2} = p \sqrt{\frac{c_0}{m_0} - \frac{b_0^2 p^2}{4m_0^2}}.$$

По приближенной зависимости была разработана программа, с помощью которой построены графики перемещений (рис. 2-а) и скорости верхнего сечения кипы (рис 2-б) после снятия упаковки.

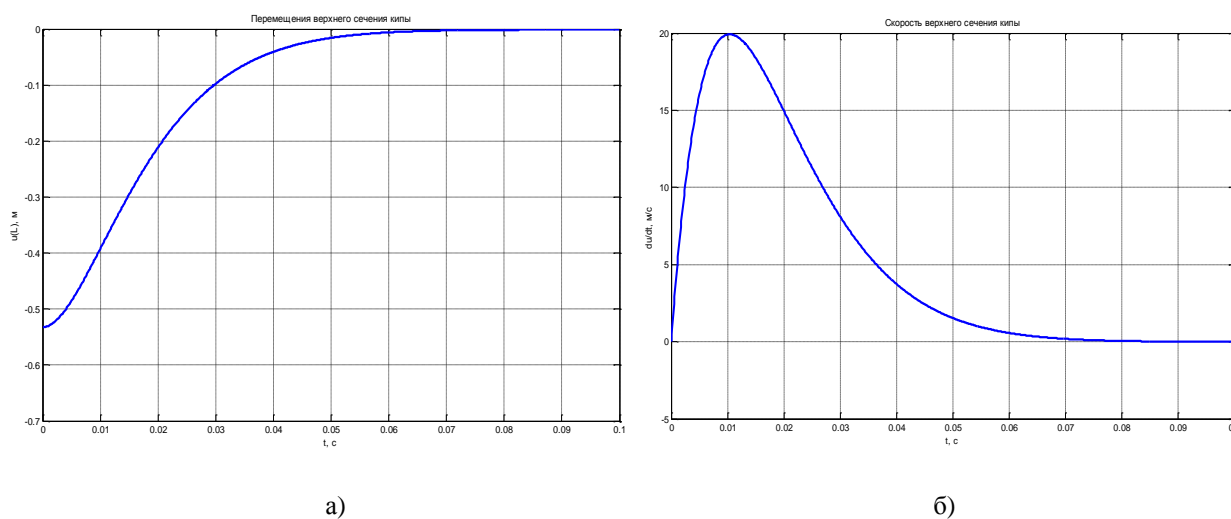


Рис. 2

## ВЫВОДЫ

1. Предложена механическая модель кипы хлопка.
2. Составлена математическая модель деформационного движения кипы.
3. Приведено общее и частное решение уравнений движения кипы.
4. Обосновано применение приближенного решения уравнения движения кипы.

## ЛИТЕРАТУРА

1. *Волков В.В., Семенов А.Д. и др.* Влияние физико-механических свойств ставки кип на внешнюю неровноту ее переработки // Изв. вузов. Технология текстильной промышленности. – 2009, №1. С.48...51.
2. *Севостьянов А.Г.* Методы и средства исследования механико-технологических процессов текстильной промышленности. – 2-е изд., допол. и перераб. – М., 2007.
3. *Труевцев Н.И. и др.* Механическая технология волокнистых материалов. – М.: Легкая индустрия, 1999.

Рекомендована кафедрой технологии машиностроения. Поступила 13.01.14.

---